

**С.М. ВЕРЕЩАКА**, д-р техн. наук, профессор, СумДУ, Сумы;  
**А.В.ДЕЙНЕКА**, аспирант, СумДУ, Сумы

## **ТЕРМОУПРУГОЕ НАПРЯЖЕННОЕ СОСТОЯНИЕ МНОГОСЛОЙНОЙ ТРУБЫ С ЗАЩИТНЫМ СЛОЕМ ИЗ ДЮРАЛЮМИНИЯ И УГЛЕПЛАСТИКА**

На основе классической теории упругости анизотропного тела сравнивается напряженно-деформированное состояние многослойного толстостенного цилиндра конечной длины при действии внутреннего давления и температуры. Защитный слой цилиндра выполнен из дюралюминия или углепластика. Кинематические и статические условия контакта по сопряженным поверхностям соседних слоев считаются идеальными. Решение задачи получено в осесимметричной постановке. При этом внутреннее давление и температурная нагрузка изменяются по синусоидальному закону по длине цилиндра. Отмечается, что замена дюралюминиевого защитного слоя композитной трубы на углепластик, оказывает существенное влияние на ее напряженное состояние. При сравнении напряженно-деформированного состояния рассматриваемых конструктивных вариантов цилиндров более эффективным оказался вариант защитного слоя из углепластика.

**Ключевые слова:** толстостенный цилиндр; температура; стеклопластик; углепластик.

**Введение.** Композиты многослойной структуры широко используются в различных областях современной техники. Известно, что элементы из композитов значительно выигрывают по удельной прочности при сравнении с их изотропными аналогами. Так, например, замена стальных труб стеклопластиковыми трубами увеличивает срок службы трубопроводов примерно в 4 раза и в 3 раза снижает его массу, а также исключает применение антикоррозионных защитных средств и дорогостоящих сварочных работ.

Однако для практической реализации этих преимуществ необходимо и дальше накапливать опыт проектирования такого рода конструкций. При изготовлении и эксплуатации многослойных конструкций из композиционных материалов на межслойных границах контакта жестких армированных слоев происходит образование тонкого мягкого клеевого слоя, а также различного рода структурных несовершенств, например, участков непрочной или отслоений. Традиционно используемое в расчетных моделях предположение о непрерывности перемещений и напряжений при переходе через границу контакта жестких армированных слоев оказывается существенно нарушенным.

В этой связи изучение напряженного состояния армированных оболочек при действии как статической, так и тепловой нагрузки на основе дискретно-структурной теории многослойных оболочек, когда учитываются реальные условия взаимодействия слоев и величина изменения контактных напряже-

ний на межслойных границах, представляется актуальной задачей. Подробный анализ последних результатов и направлений развития дискретно-структурной теории слоистых пластин и оболочек можно найти в обзорах работ [1 – 2].

**1. Основные уравнения.** Пусть круговой полый цилиндр нагружен по цилиндрическим поверхностям  $r = r_a$  и  $r = r_b$  стационарными температурными нагрузками  $t_a(z)$  и  $t_b(z)$  и равномерно распределенными по окружной координате усилиями  $q_a(z)$  и  $q_b(z)$ . Направление осей цилиндрической системы координат указано на рис. 1, *a*. Напряжения, которые возникают в точке цилиндра при действии внешней нагрузки, показаны на рис. 1, *б*. Считается, что температурная нагрузка и заданное по лицевым цилиндрическим поверхностям давление осесимметричны относительно продольной оси цилиндра. Но при этом их величина изменяется вдоль меридиана и зависит от координаты  $z$ . Кроме этого, цилиндр имеет конечную длину  $l$ , а на его торцах выполняются условия свободного опирания. Также при решении задачи может учитываться эффект проскальзывания слоев цилиндра друг относительно друга в продольном направлении.

На основе классической теории анизотропного упругого тела [3] для решения поставленной задачи были составлены уравнения равновесия, физические и геометрические соотношения.

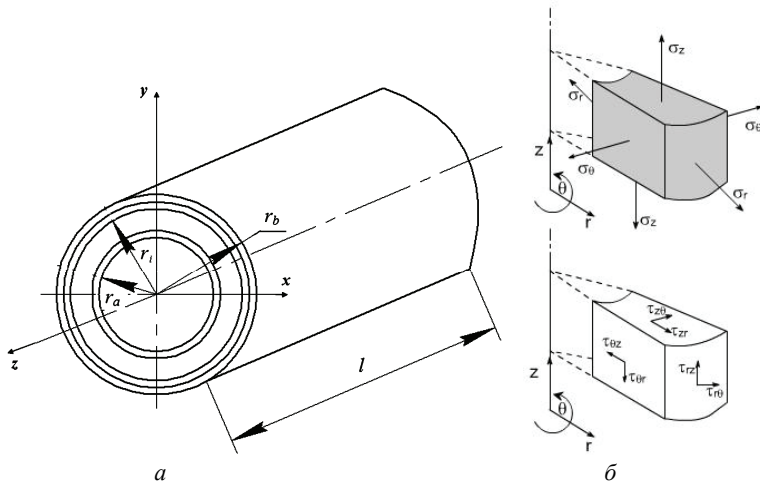


Рисунок 1 – Многослойный круговой полый цилиндр конечной длины  
*a* – направление осей координат; *б* – направление действия напряжений

**1.1. Физические соотношения.** Приняв цилиндрическую систему координат  $r, \theta, z$  и задав направление оси  $x$ , от которой отсчитывается угол  $\theta$  (рис. 1, *a*), физические соотношения для  $i$ -го ортотропного слоя с цилиндрической

анизотропией запишутся в виде

$$\{\sigma_r^i\} = [B_r^i] \{\sigma_r^i\} + \{\alpha_r^i \Delta t\} \quad (i=1,2,\dots,N), \quad (1)$$

где

$$\{\sigma_r^i\} = \begin{Bmatrix} \sigma_r^i \\ \sigma_\theta^i \\ \sigma_z^i \\ \tau_{\theta z}^i \\ \tau_{rz}^i \\ \tau_{r\theta}^i \end{Bmatrix}, \quad \{\varepsilon_r^i\} = \begin{Bmatrix} \varepsilon_r^i \\ \varepsilon_\theta^i \\ \varepsilon_z^i \\ \gamma_{\theta z}^i \\ \gamma_{rz}^i \\ \gamma_{r\theta}^i \end{Bmatrix}, \quad \{\alpha_r^i \Delta t\} = \begin{Bmatrix} \alpha_r^i \Delta t \\ \alpha_\theta^i \Delta t \\ \alpha_z^i \Delta t \\ 0 \\ 0 \\ 0 \end{Bmatrix},$$

$$[B_r^i] = \begin{bmatrix} b_{11}^i & b_{12}^i & b_{13}^i & 0 & 0 & 0 \\ & b_{22}^i & b_{23}^i & 0 & 0 & 0 \\ & & b_{33}^i & 0 & 0 & 0 \\ & сим. & & b_{44}^i & 0 & 0 \\ & & & & b_{55}^i & 0 \\ & & & & & b_{66}^i \end{bmatrix} = \begin{bmatrix} \frac{1}{E_r^i} & -\frac{\nu_{\theta r}^i}{E_\theta^i} & -\frac{\nu_{zr}^i}{E_z^i} & 0 & 0 & 0 \\ -\frac{\nu_{r\theta}^i}{E_r^i} & \frac{1}{E_\theta^i} & -\frac{\nu_{z\theta}^i}{E_z^i} & 0 & 0 & 0 \\ -\frac{\nu_{rz}^i}{E_r^i} & -\frac{\nu_{\theta z}^i}{E_\theta^i} & \frac{1}{E_z^i} & 0 & 0 & 0 \\ 0 & 0 & 0 & \frac{1}{G_{\theta z}^i} & 0 & 0 \\ 0 & 0 & 0 & 0 & \frac{1}{G_{rz}^i} & 0 \\ 0 & 0 & 0 & 0 & 0 & \frac{1}{G_{r\theta}^i} \end{bmatrix} -$$

матрицы-столбцы напряженно-деформированного состояния и температурных деформаций, а также матрица коэффициентов податливости  $[B_r^i]$  соответственно. Здесь  $E_r^i, E_\theta^i, E_z^i$  – модули упругости соответственно в радиальном, круговом и продольном направлениях;  $G_{\theta z}^i, G_{rz}^i, G_{r\theta}^i$  – модули сдвига в плоскостях  $\theta 0z, r0z, r0\theta$  соответственно;  $\nu_{kj}^i$  ( $k, j = r, \theta, z$ ) – коэффициенты Пуассона;  $\alpha_j^i$  ( $j = r, \theta, z$ ) – температурный коэффициент линейного расширения в направлениях осей цилиндрической системы;  $\Delta t$  – изменение температуры на поверхностях цилиндра;  $N$  – количество слоев цилиндра. Решая систему уравнений (1) относительно напряжений, несложно найти следующие физические соотношения

$$\{\sigma_r^i\} = [A_r^i] \{\varepsilon_r^i\} - \{\alpha_r^i \Delta t\}, \quad (2)$$

где

$$[A_r^i] = \begin{bmatrix} a_{11}^i & a_{12}^i & a_{13}^i & 0 & 0 & 0 \\ & a_{22}^i & a_{23}^i & 0 & 0 & 0 \\ & & a_{33}^i & 0 & 0 & 0 \\ \text{сим.} & & & a_{44}^i & 0 & 0 \\ & & & & a_{55}^i & 0 \\ & & & & & a_{66}^i \end{bmatrix}; \quad \{\alpha_r^i \Delta t\} = \begin{Bmatrix} (a_{11}^i + a_{12}^i + a_{13}^i) \alpha_r^i \Delta t \\ (a_{12}^i + a_{22}^i + a_{23}^i) \alpha_\theta^i \Delta t \\ (a_{13}^i + a_{23}^i + a_{33}^i) \alpha_z^i \Delta t \\ 0 \\ 0 \\ 0 \end{Bmatrix}.$$

Здесь коэффициенты матрицы жесткости  $[A_r^i]$  определяются выражениями

$$\begin{aligned} a_{11}^i &= [b_{22}^i b_{33}^i - (b_{23}^i)^2] \Delta^{-1}; & a_{22}^i &= [b_{11}^i b_{33}^i - (b_{13}^i)^2] \Delta^{-1}; \\ a_{33}^i &= [b_{11}^i b_{22}^i - (b_{12}^i)^2] \Delta^{-1}; & a_{12}^i &= [b_{13}^i b_{23}^i - b_{12}^i b_{33}^i] \Delta^{-1}; \\ a_{13}^i &= [b_{12}^i b_{23}^i - b_{22}^i b_{13}^i] \Delta^{-1}; & a_{23}^i &= [b_{12}^i b_{13}^i - b_{11}^i b_{23}^i] \Delta^{-1}; \\ \Delta &= b_{11}^i b_{22}^i b_{33}^i + b_{12}^i b_{23}^i b_{31}^i + b_{21}^i b_{32}^i b_{13}^i - \\ &- b_{13}^i b_{22}^i b_{31}^i - b_{21}^i b_{12}^i b_{33}^i - b_{11}^i b_{32}^i b_{23}^i; \\ a_{44}^i &= \frac{1}{b_{44}^i}; & a_{55}^i &= \frac{1}{b_{55}^i}; & a_{66}^i &= \frac{1}{\theta_{66}^i}. \end{aligned}$$

## 1.2. Геометрические соотношения.

$$\begin{aligned} \varepsilon_r^i &= \frac{\partial u_r^i}{\partial r}; & \varepsilon_\theta^i &= \frac{1}{r} \frac{\partial u_\theta^i}{\partial \theta} + \frac{u_r^i}{r}; & \varepsilon_z^i &= \frac{\partial u_z^i}{\partial z}; & \gamma_{\theta z}^i &= \frac{\partial u_\theta^i}{\partial z} + \frac{1}{r} \frac{\partial u_z^i}{\partial \theta}; \\ \gamma_{rz}^i &= \frac{\partial u_z^i}{\partial r} + \frac{\partial u_r^i}{\partial z}; & \gamma_{r\theta}^i &= \frac{\partial u_r^i}{\partial \theta} + \frac{\partial u_\theta^i}{\partial r} - \frac{u_\theta^i}{r} \quad (i = 1, 2, \dots, N), \end{aligned} \quad (3)$$

где  $u_r^i$ ,  $u_\theta^i$ ,  $u_z^i$  – перемещения в радиальном, окружном и продольном направлениях  $i$ -го ортотропного слоя цилиндра ( $r_i < r < r_{i+1}$ ) соответственно.

В связи с тем, что рассматриваемая задача в осесимметричной постановке относительно оси  $z$ , перемещение  $u_\theta^i$  не изменяется в окружном направлении. Поэтому выражения (3) можно переписать в следующем виде:

$$\begin{aligned} \varepsilon_r^i &= \frac{\partial u_r^i}{\partial r}; & \varepsilon_\theta^i &= \frac{u_r^i}{r}; & \varepsilon_z^i &= \frac{\partial u_z^i}{\partial z}; & \gamma_{\theta z}^i &= 0; \\ \gamma_{rz}^i &= \frac{\partial u_z^i}{\partial r} + \frac{\partial u_r^i}{\partial z}; & \gamma_{r\theta}^i &= -\frac{u_\theta^i}{r} \quad (i = 1, 2, \dots, N). \end{aligned} \quad (4)$$

**1.3. Уравнения равновесия.** При осесимметричной двумерной постановке задачи уравнения равновесия классической анизотропной теории упругости [3] принимают вид:

$$\frac{\partial \sigma_r^i}{\partial r} + \frac{\partial \tau_{rz}^i}{\partial z} + \frac{\sigma_r^i - \sigma_\theta^i}{r} = 0; \quad \frac{\partial \tau_{rz}^i}{\partial r} + \frac{\partial \sigma_z^i}{\partial z} + \frac{\partial \tau_{rz}^i}{r} = 0. \quad (5)$$

Система из двух уравнений равновесия дополняется третьим уравнением теплопроводности

$$\left( \frac{\partial^2}{\partial r^2} + \frac{1}{r} \frac{\partial}{\partial r} + \frac{\partial^2}{\partial z^2} \right) t^i = 0. \quad (6)$$

Для решения поставленной задачи, составленную систему из трех дифференциальных уравнений в частных производных (5) – (6), необходимо задать граничные условия на торцах и лицевых поверхностях цилиндра, а также условия контакта по сопряженным поверхностям соседних слоев.

#### 1.4. Граничные условия:

– на торцах и лицевых поверхностях цилиндра

$$\begin{aligned} u_r^i(r, 0) = 0; \quad \sigma_z^i(r, 0) = \tau_{rz}^i(r, 0) = 0; \\ u_r^i(r, l) = 0; \quad \sigma_z^i(r, l) = \tau_{rz}^i(r, l) = 0; \\ \sigma_r^1(r_a, z) = q_a(z); \quad \tau_{rz}^1(r_a, z) = 0; \\ \sigma_r^N(r_b, z) = q_b(z); \quad \tau_{rz}^N(r_b, z) = 0; \\ t^i(r, 0) = t^i(r, l) = 0 \quad (i = 1, 2, \dots, N), \\ t^1(r_a, z) = t_a(z); \quad t^N(r_b, z) = t_b(z). \end{aligned} \quad (7)$$

– по сопряженным поверхностям соседних слоев

$$\begin{aligned} \sigma_r^{i-1}(r_i, z) = \sigma_r^i(r_i, z); \quad \tau_{rz}^{i-1}(r_i, z) = \tau_{rz}^i(r_i, z); \\ u_r^{i-1}(r_i, z) = u_r^i(r_i, z); \quad u_z^{i-1}(r_i, z) - u_z^i(r_i, z) = K \cdot \tau_{rz}^i(r_i, z); \\ t^{i-1}(r_i, z) = t^i(r_i, z); \quad \lambda^{i-1} \frac{\partial t^{i-1}(r_i, z)}{\partial r} = \lambda^i \frac{\partial t^i(r_i, z)}{\partial r} \quad (i = 1, 2, \dots, N). \end{aligned} \quad (8)$$

В последнем условии (8) параметр  $\lambda^i$  соответствует коэффициенту теплопроводности  $i$ -го слоя.

В качестве предельных из уравнения (8) имеет место два варианта: при  $1/K^{(i)} = 0$  – имеет место упругое проскальзывание соседних слоев друг относительно друга по сопряженным поверхностям, при  $K^{(i)} = 0$  – идеальный контакт.

**1.5. Безразмерные параметры.** Для упрощения ввода исходных данных и обобщения полученных численных результатов, следуя работе [4], вводятся следующие безразмерные величины:

$$R = \frac{r}{r_b}; \quad R_a = \frac{r_a}{r_b}; \quad R_b = \frac{r_b}{r_b} = 1; \quad Z = \frac{z}{r_b};$$

$$\begin{aligned}
L &= \frac{l}{r_b}; & A_{kl}^i &= \frac{a_{kl}^i}{E_0}; & \Gamma_k^i &= \frac{\gamma_k^i}{\alpha_0 E_0}; \\
T^i &= \frac{t^i}{t_0}; & \Lambda^i &= \frac{\lambda^i}{\lambda_0}; & U_r^i &= \frac{u_r^i}{\alpha_0 E_0 r_b}; & U_z^i &= \frac{u_z^i}{\alpha_0 E_0 r_b}; \\
S_r^i &= \frac{\sigma_r^i}{\alpha_0 E_0 t_0}; & S_z^i &= \frac{\sigma_z^i}{\alpha_0 E_0 t_0}; & S_\theta^i &= \frac{\sigma_\theta^i}{\alpha_0 E_0 t_0}; \\
TU_{rz}^i &= \frac{\tau_{rz}^i}{\alpha_0 E_0 t_0}; & Q_a(z) &= \frac{q_a(z)}{\alpha_0 E_0 t_0}; & Q_b(z) &= \frac{q_b(z)}{\alpha_0 E_0 t_0}; \\
T_a(z) &= \frac{t_a(z)}{t_0}; & T_b(z) &= \frac{t_b(z)}{t_0},
\end{aligned} \tag{9}$$

где  $E_0$ ,  $\lambda_0$ , и  $\alpha_0$  – значения модуля Юнга, теплопроводности и коэффициента теплового линейного расширения эталонного материала;  $t_0$  – эталонная температура цилиндра.

**1.6. Постановка краевой задачи.** Подставляя геометрические соотношения (4) в уравнения (5), а также с учетом безразмерных параметров введенных выше, можно получить следующие уравнения:

$$\begin{aligned}
& \left[ A_{11}^i \left( \frac{\partial^2}{\partial R^2} + \frac{1}{R} \frac{\partial}{\partial R} \right) - \frac{A_{22}^i}{R^2} + A_{55}^i \frac{\partial^2}{\partial Z^2} \right] U_r^i + \\
& + \left[ (A_{13}^i + A_{55}^i) \frac{\partial^2}{\partial R \partial Z} + (A_{13}^i - A_{23}^i) \frac{\partial}{\partial Z} \right] U_z^i = \Gamma_r^i \frac{\partial T^i}{\partial R}; \\
& \left[ (A_{13}^i + A_{55}^i) \frac{\partial^2}{\partial R \partial Z} + (A_{23}^i + A_{55}^i) \frac{1}{R} \frac{\partial}{\partial Z} \right] U_r^i + \\
& \left[ A_{55}^i \left( \frac{\partial^2}{\partial R^2} + \frac{1}{R} \frac{\partial}{\partial R} \right) + A_{33}^i \frac{\partial^2}{\partial Z^2} \right] U_z^i = \Gamma_r^i \frac{\partial T^i}{\partial Z}; \\
& \left( \frac{\partial^2}{\partial R^2} + \frac{1}{R} \frac{\partial}{\partial R} \right) T^i + \frac{\partial^2 T^i}{\partial Z^2} = 0.
\end{aligned} \tag{10}$$

Граничные условия (7), (8), записанные при помощи безразмерных параметров (9), принимают вид:

– на торцах и лицевых поверхностях цилиндра

$$\begin{aligned}
U_r^i(R, 0) &= 0; & S_z^i(R, 0) &= TU_{rz}^i(R, 0) = 0; \\
U_r^i(R, l) &= 0; & S_z^i(R, l) &= TU_{rz}^i(R, l) = 0; \\
S_r^1(R_a, z) &= Q_a(z); & TU_{rz}^1(R_a, z) &= 0;
\end{aligned}$$

$$\begin{aligned}
S_r^N(R_b, z) &= Q_b(z); \quad TU_{rz}^N(R_b, z) = 0; \\
T^i(R, 0) &= T^i(R, l) = 0 \quad (i = 1, 2, \dots, N), \\
T^1(R_a, z) &= T_a(z); \quad T^N(R_b, z) = T_b(z).
\end{aligned} \tag{11}$$

– по сопряженным поверхностям соседних слоев

$$\begin{aligned}
S_r^{i-1}(R_i, z) &= S_r^i(R_i, z); \quad TU_{rz}^{i-1}(R_i, z) = TU_{rz}^i(R_i, z); \\
U_r^{i-1}(R_i, z) &= U_r^i(R_i, z); \quad U_z^{i-1}(R_i, z) - U_z^i(R_i, z) = K \cdot TU_{rz}^i(R_i, z); \\
T^{i-1}(R_i, z) &= T^i(R_i, z); \quad \Lambda^{i-1} \frac{\partial T^{i-1}(R_i, z)}{\partial R} = \Lambda^i \frac{\partial T^i(R_i, z)}{\partial R} \quad (i = 1, 2, \dots, N).
\end{aligned} \tag{12}$$

**2. Алгоритм решения краевой задачи.** Решение краевой задачи (10) – (12) в направлении продольной оси цилиндра ищется в виде тригонометрических рядов

$$\begin{aligned}
U_r^i(R, Z) &= \sum_{n=1}^{\infty} \Phi_n^i(R) \sin(\beta Z); \quad U_z^i(R, Z) = \sum_{n=1}^{\infty} \Psi_n^i(R) \cos(\beta Z); \\
T_r^i(R, Z) &= \sum_{n=1}^{\infty} F_n^i(R) \sin(\beta Z).
\end{aligned} \tag{13}$$

где  $\beta = \frac{n\pi \chi_b}{L}$ . Принятые выражения (13) удовлетворяют условиям свободного опирания на торцах цилиндра.

Подставляя (13) в систему уравнений (10), несложно получить ее в следующем виде:

$$\begin{aligned}
&\left[ A_{11}^i \left( \frac{d^2}{dR^2} + \frac{1}{R} \frac{d}{dR} \right) - \frac{A_{22}^i}{R^2} + A_{55}^i \beta^2 \right] \Phi_n^i(R) + \\
&\left[ (A_{13}^i + A_{55}^i) \beta \frac{d}{dR} + (A_{13}^i - A_{23}^i) \frac{\beta}{R} \right] \Psi_n^i(R) = \Gamma_r^i \frac{dF_n^i(R)}{dR}; \\
&\left[ (A_{13}^i + A_{55}^i) \beta \frac{d}{dR} + (A_{23}^i + A_{55}^i) \frac{\beta}{R} \right] \Phi_n^i(R) + \\
&\left[ A_{55}^i \left( \frac{d^2}{dR^2} + \frac{1}{R} \frac{d}{dR} \right) + A_{33}^i \beta^2 \right] \Psi_n^i(R) = \Gamma_r^i F_n^i(R); \\
&\left[ \left( \frac{d^2}{dR^2} + \frac{1}{R} \frac{d}{dR} \right) - \beta^2 \right] F_n^i(R) = 0.
\end{aligned} \tag{14}$$

По аналогичной схеме преобразовываются и граничные условия (11), (12):

– на торцах и лицевых поверхностях цилиндра

$$\begin{aligned}
& A_{11}^1 \frac{d\Phi_n^1(R_a)}{dR} + A_{12}^1 \frac{\Phi_n^1(R_a)}{R} - \beta A_{13}^1 \Psi_n^1(R_a) = Q_{an}, \\
& \beta \Phi_n^1(R_a) + \frac{d\Psi_n^1(R_a)}{dR} = 0, \\
& A_{11}^N \frac{d\Phi_n^N(R_b)}{dR} + A_{12}^N \frac{\Phi_n^N(R_b)}{R} - \beta A_{13}^N \Psi_n^N(R_b) = Q_{bn}, \\
& \beta \Phi_n^N(R_b) + \frac{d\Psi_n^N(R_b)}{dR} = 0, \\
& F_n^1(R_a) = T_{an}, F_n^N(R_b) = T_{bn}.
\end{aligned} \tag{15}$$

– по сопряженным поверхностям соседних слоев

$$\begin{aligned}
& A_{11}^{i-1} \frac{d\Phi_n^{i-1}(R^i)}{dR} + A_{12}^{i-1} \frac{\Phi_n^{i-1}(R^i)}{R} - \beta A_{13}^{i-1} \Psi_n^{i-1}(R^i) = \\
& = A_{11}^i \frac{d\Phi_n^{i-1}(R^i)}{dR} + A_{12}^i \frac{\Phi_n^{i-1}(R^i)}{R} - \beta A_{13}^i \Psi_n^i(R^i); \\
& \beta \Phi_n^{i-1}(R^i) + \frac{d\Psi_n^{i-1}(R^i)}{dR} = \beta \Phi_n^i(R^i) + \frac{d\Psi_n^i(R^i)}{dR}; \quad \Phi_n^{i-1}(R^i) = \Phi_n^i(R^i); \\
& \Psi_n^{i-1}(R^i) - \Psi_n^i(R^i) = K \left( \beta \Phi_n^i(R^i) + \frac{d\Psi_n^i(R^i)}{dR} \right); \quad F_n^{i-1}(R^i) = F_n^i(R^i); \\
& A^{i-1} \frac{dF_n^{i-1}(R^i)}{dR} = A^i \frac{dF_n^i(R^i)}{dR}.
\end{aligned} \tag{16}$$

Здесь

$$\begin{aligned}
Q_{an} &= \frac{1}{L} \int_0^{2L} Q_a(Z) \sin(\beta Z) dZ; & Q_{bn} &= \frac{1}{L} \int_0^{2L} Q_b(Z) \sin(\beta Z) dZ; \\
T_{an} &= \frac{1}{L} \int_0^{2L} T_a(Z) \sin(\beta Z) dZ; & T_{bn} &= \frac{1}{L} \int_0^{2L} T_b(Z) \sin(\beta Z) dZ.
\end{aligned}$$

Считается, что в радиальном направлении функции  $\Phi_n^i(R^i)$ ,  $\Psi_n^i(R^i)$ ,  $F_n^i(R^i)$  непрерывны по толщине  $i$ -го слоя, тогда при помощи рядов Тейлора их можно будет записать в виде:

$$\begin{aligned}
\Phi_n^i(R) &= \sum_{k=0}^{\infty} C_k^i (R-1)^k; & \Psi_n^i(R) &= \sum_{k=0}^{\infty} B_k^i (R-1)^k; \\
F_n^i(R) &= \sum_{k=0}^{\infty} D_k^i (R-1)^k.
\end{aligned} \tag{17}$$

Подставив (17) в уравнения (15) и приравняв коэффициенты при  $(R-1)^k$



к нулю, несложно получить следующие рекуррентные соотношения

$$\begin{aligned}
 C_{k+2}^i &= \frac{1}{(k+2)(k+1)} \left[ \begin{aligned} &-(k+1)C_{k+1}^i + \frac{A_{22}^i + \beta^2 A_{55}^i}{A_{11}^i} C_k^i - \\ &(k+1)\beta \frac{A_{13}^i + A_{55}^i}{A_{11}^i} B_{k+1}^i - \beta \frac{A_{13}^i - A_{23}^i}{A_{11}^i} B_k^i + \frac{\Gamma_r^i(k+1)}{A_{11}^i} D_{k+1}^i \end{aligned} \right]; \\
 B_{k+2}^i &= \frac{1}{(k+2)(k+1)} \left[ \begin{aligned} &-(k+1)B_{k+1}^i + \frac{\beta^2 A_{33}^i}{A_{55}^i} B_k^i - \\ &(k+1)\beta \frac{A_{13}^i + A_{55}^i}{A_{55}^i} C_{k+1}^i - \beta \frac{A_{55}^i + A_{23}^i}{A_{55}^i} C_k^i + \frac{\Gamma_z^i}{A_{55}^i} D_k^i \end{aligned} \right]; \\
 D_{k+2}^i &= \frac{1}{(k+2)(k+1)} \left[ -(k+1)D_{k+1}^i + \beta^2 B_k^i \right]. \tag{18}
 \end{aligned}$$

Из рекуррентных соотношений (18) следует, что все коэффициенты  $C_k^i$ ,  $B_k^i$  и  $D_k^i$  могут быть выражены через  $C_0^i$ ,  $C_1^i$ ,  $B_0^i$ ,  $B_1^i$ ,  $D_0^i$ ,  $D_1^i$ , когда  $k > 1$ . Тогда решения системы уравнений (15) могут быть записаны в компактной форме

$$\begin{aligned}
 \Phi_n^i(R) &= \sum_{k=0}^{\infty} \left[ g_c^i(k,1)C_0^i + g_c^i(k,2)C_1^i + g_c^i(k,3)B_0^i \right. \\ &\quad \left. + g_c^i(k,4)B_1^i + g_c^i(k,5)D_0^i + g_c^i(k,6)D_1^i \right] (R-1)^k; \\
 \Psi_n^i(R) &= \sum_{k=0}^{\infty} \left[ g_b^i(k,1)C_0^i + g_b^i(k,2)C_1^i + g_b^i(k,3)B_0^i \right. \\ &\quad \left. + g_b^i(k,4)B_1^i + g_b^i(k,5)D_0^i + g_b^i(k,6)D_1^i \right] (R-1)^k; \\
 F_n^i(R) &= \sum_{k=0}^{\infty} \left[ g_d^i(k,1)C_0^i + g_d^i(k,2)C_1^i + g_d^i(k,3)B_0^i \right. \\ &\quad \left. + g_d^i(k,4)B_1^i + g_d^i(k,5)D_0^i + g_d^i(k,6)D_1^i \right] (R-1)^k, \tag{19}
 \end{aligned}$$

где  $g_b^i(k, o)$ ,  $g_c^i(k, j)$ ,  $g_d^i(k, j)$  константы, определяемые при помощи рекуррентных соотношений (19). Неизвестные константы  $C_0^i$ ,  $C_1^i$ ,  $B_0^i$ ,  $B_1^i$ ,  $D_0^i$ ,  $D_1^i$ , число которых определяется количеством дискретных слов цилиндра  $N$ , находятся путем подстановки выражений (19) в граничные условия (15), (16). Полученная при этом линейная алгебраическая система уравнений включает  $6N$  неизвестных констант.

Определив значение выражений (19) и подставив их в заданные решения (13), несложно при помощи геометрических и физических соотношений, представленных выше, получить решение рассматриваемой термоупругой краевой задачи.

**3. Пример расчета.** Геометрические параметры многослойного кругового полого цилиндра  $r_a = 0,156$  м,  $r_b = 0,188$  м и  $l = 2,163$  м. Эталонные значения температуры, модуль Юнга, и коэффициент теплового расширения равны:  $T_0 = 50$  К,  $E_0 = 40$  ГПа, а  $\alpha_0 = 7,0 \cdot 10^{-5}$  К<sup>-1</sup>. Температурные нагрузки на

внутренней и наружной поверхности, а также внутреннее и внешнее давление, заданы в следующем виде:

$$T_a(z) = 0, T_b(z) = \Delta T \cdot \sin\left(\frac{\pi z}{l}\right), \quad q_a(z) = q_0 \cdot \sin\left(\frac{\pi z}{l}\right), q_b(z) = 0,$$

где  $q_0 = 20$  МПа,  $\Delta T = 80$  К.

Цилиндр состоит из 4 слоев: 1) твердый полиэтилен высокого давления ( $h = 4$  мм) –  $E = 260$  МПа;  $\nu = 0,4$ ;  $\lambda = 0,44$  Вт/м·К;  $\alpha = 20 \cdot 10^{-5}$  К $^{-1}$ ; 2) стеклопластик ( $h = 20$  мм) –  $\lambda = 0,4$  Вт/м·К;  $\alpha_z = \alpha_\theta = 5 \cdot 10^{-6}$  К $^{-1}$ ;  $\alpha_r = 7 \cdot 10^{-6}$  К $^{-1}$ ; 3) пеновинилпласт ( $h = 4$  мм) –  $E = 83$  МПа;  $\nu = 0,33$ ;  $\lambda = 0,4$  Вт/м·К;  $\alpha = 15 \cdot 10^{-5}$  К $^{-1}$ ; 4) дюралюминий ( $h = 4$  мм) –  $E = 71$  ГПа;  $\nu = 0,31$ ;  $\lambda = 160$  Вт/м·К;  $\alpha = 2,3 \cdot 10^{-5}$  К $^{-1}$ ; углепластик –  $\lambda = 0,4$  Вт/м·К,  $\alpha_z = -5,7 \cdot 10^{-7}$  К $^{-1}$ ,  $\alpha_\theta = 3,0 \cdot 10^{-5}$  К $^{-1}$ ,  $\alpha_r = 7 \cdot 10^{-6}$  К $^{-1}$ .

Для первого, третьего и четвертого слоев, изготовленных из упругого изотропного материала, справедливы следующие соотношения:

$$E_z = E_\theta = E_r = E; \quad G_{\theta z} = G_{r\theta} = G_{rz} = G;$$

$$\nu_{z\theta} = \nu_{zr} = \nu_{\theta r} = \nu_{\theta z} = \nu_{rz} = \nu_{r\theta} = \nu_z; \quad G = \frac{E}{2(1+\nu)}.$$

Упругие характеристики стеклопластика определялись по методике, предложенной в работе [1]. Модули упругости  $E_\theta$ , сдвига  $G_\theta$  и коэффициент Пуассона  $\nu_\theta$  наматываемых лент, набранных из алюмоборосиликатных нитей, соответственно равны  $E_\theta = 55000$  МПа,  $G_\theta = 22000$  МПа и  $\nu_\theta = 0,25$ . В качестве матрицы стеклопластика использовался эпоксидный полимер со следующими параметрами упругости:  $E_m = 3550$  МПа,  $G_m = 1270$  МПа и  $\nu_m = 0,4$ . В каждом монослое толщиной 0,25 мм объем, занимаемый лентами, составляет 70 % общего объема.

Углепластик. Согласно паспортным данным модули упругости  $E_\theta$ , сдвига  $G_\theta$  и коэффициент Пуассона  $\nu_\theta$  углеродного волокна ЛУ-03 соответственно равны 235000 МПа, 90400 МПа и 0,3. Механические характеристики связующего углепластика (сополимер эпоксифенольной и анилиноформальдегидной смол) –  $E_m = 3500$  МПа,  $G_m = 1320$  МПа и  $\nu_m = 0,32$ . В каждом монослое толщиной 0,171 мм объем, занимаемый волокнами, составляет 55 % общего объема.

Технические постоянные рассматриваемых многослойного стеклопластика и углепластика сведены в табл. 1.

На рис. 2 – 4 показаны графики распределения перемещений и напряжений в толстостенном цилиндре.

Анализ теоретических результатов, показанных на рис. 2, позволяет отметить следующее. Осевые напряжения в несущем стеклопластиковом слое цилиндра уменьшаются примерно в 3,5 раза, когда дюралюминиевый защитный слой заменяется защитным слоем из углепластика.

Из рис. 3 видно, что в результате замены дюралюминиевого внешнего защитного слоя цилиндра углепластиковым слоем величина окружных на-

пряжений в несущем стеклопластиковом слое уменьшается в 1,4 раза при совместном действии температурной нагрузки и внутреннего давления.

Таблица 1 – Упругие характеристики угле и стеклопластиков

Материал	$E_{ii}$ , МПа	$G_{ij}$ , МПа	$\nu_{ij}$	$\nu_{ji}$
Углепластик	$E_{\theta} = 84457$	$G_{\theta z} = 12410$	$\nu_{\theta z} = 0,21$	$\nu_{\theta z} = 0,11$
	$E_z = 42026$	$G_{r\theta} = 4287$	$\nu_{r\theta} = 0,28$	$\nu_{r\theta} = 0,049$
	$E_r = 14703$	$G_{rz} = 3677$	$\nu_{rz} = 0,3$	$\nu_{rz} = 0,1$
Стеклопластик	$E_z = 23800$	$G_{\theta z} = 7490$	$\nu_{z\theta} = 0,077$	$\nu_{\theta z} = 0,11$
	$E_{\theta} = 33500$	$G_{rz} = 5014$	$\nu_{zr} = 0,397$	$\nu_{rz} = 0,4$
	$E_r = 23870$	$G_{r\theta} = 6620$	$\nu_{\theta r} = 0,405$	$\nu_{r\theta} = 0,284$

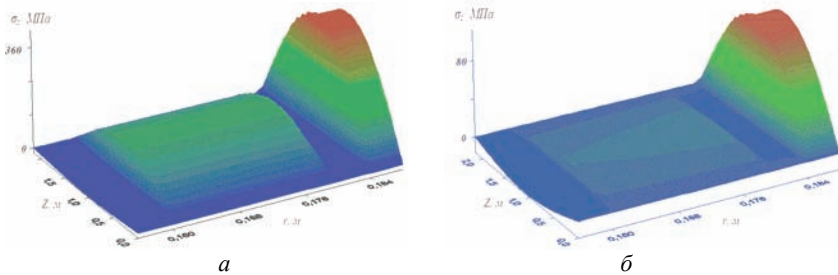


Рисунок 2 – Распределение осевых напряжений в цилиндре ( $q_0 = 20$  МПа,  $\Delta T = 80$  К) защитный слой: а – дюралюминий; б – углепластик

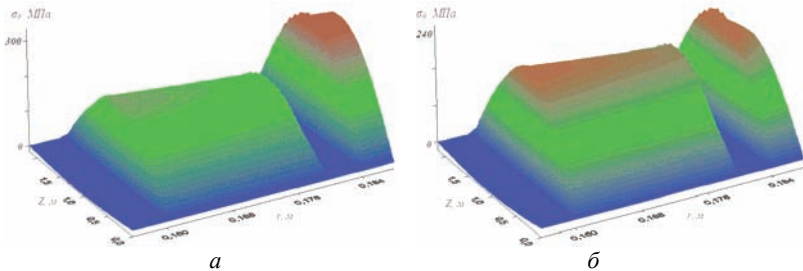


Рисунок 3 – Распределение окружных напряжений в цилиндре ( $q_0 = 20$  МПа,  $\Delta T = 80$  К) защитный слой: а – дюралюминий; б – углепластик

Заметно изменяется картина распределения осевых напряжений в защитном слое многослойного цилиндра ( $q_0 = 20$  МПа,  $\Delta T = 80$  К). Максимальные напряжения  $\sigma_z$  в дюралюминиевом слое в 3 раза больше максимальных напряжений в углепластиковом слое. Изменяется картина распределения напряжений поперечного сдвига (рис. 4) в полом неоднородном толстостенном

цилиндре при использовании углепластика вместо дюралюминия для конструкции защитного слоя.

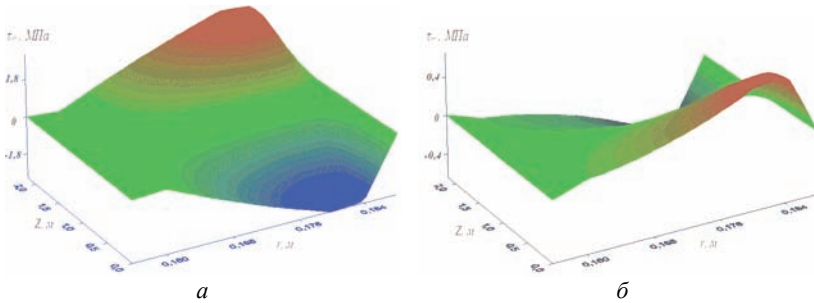


Рисунок 4 – Распределение напряжений поперечного сдвига в цилиндре ( $q_0 = 20$  МПа,  $\Delta T = 80$  К) защитный слой: а) дюралюминий; б) углепластик

**Выводы.** На основе дискретно-структурной теории проведены исследования напряженно-деформированного состояния многослойных оболочек при действии как статической, так и температурной нагрузки. Предложенный алгоритм решения, рассмотренного класса задач, позволяет получать расчетные данные для оценки влияния физико-механических характеристик отдельных слоев на термоупругое деформированное состояние неоднородного по толщине цилиндра. При сравнение напряженно-деформированного состояния цилиндров с внешними защитными слоями из углепластика и дюралюминия, более эффективным оказался углепластик.

**Список литературы:** 1. *Верещака С.М.* Нелинейное деформирование и устойчивость многослойных элементов конструкций с дефектами структуры / *С.М. Верещака.* – Сумы: Изд-во СумГУ, 2009. – 286 с. 2. *Пискунов В.Г.* Развитие теории слоистых пластин и оболочек / *В.Г.Пискунов, А.О.Рассказов* // Прикладная механика. – 2002. – Т 38. № 2. – С. 22-56. 3. *Лехницкий С.Г.* Теория упругости анизотропного тела / *С.Г. Лехницкий.* – М.: Наука, 1977. – 416 с. 4. *Shao Z. S.* Mechanical and thermal stresses of a functionally graded circular hollow cylinder with finite length / *Z. S. Shao* // International Journal of Pressure Vessels and Piping. – 2005. – Vol. 82. – P. 155-163.

**Bibliography (transliterated):** 1. *Vereschaka S.M.* Nelinejnoe deformirovanie i ustojchivost' mnogoslujnyh elementov konstrukcij s defektami struktury. *S.M. Vereschaka.* Sumy: Izd-vo SumGU, 2009. 286 Print. 2. *Piskunov V.G.* Razvitie teorii sloistyh plastin i obolochek. *V.G.Piskunov, A.O.Rasskazov.* Prikladnaya mehanika. 2002. T 38. № 2. 22-56 Print. 3. *Lehnickij S.G.* Teoriya uprugosti anizotropnogo tela. *S.G. Lehnickij.* Moscow: Nauka, 1977. 416 Print. 4. *Shao Z. S.* Mechanical and thermal stresses of a functionally graded circular hollow cylinder with finite length. *Z. S. Shao.* International Journal of Pressure Vessels and Piping. 2005. Vol. 82. 155-163 Print.

*Поступила (received) 25.03.2014*